

### Exercice 1 - Amplification

On considère le montage de la Figure 1.

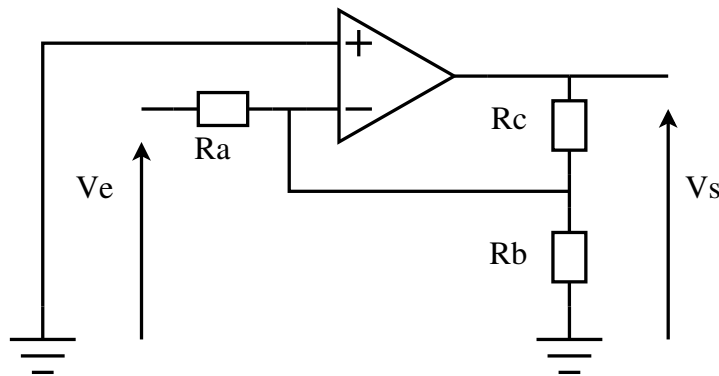


FIGURE 1 – Montage à amplificateur opérationnel

On suppose en premier lieu que l'amplificateur opérationnel est idéal.

**Question 1.1** Déterminer la relation entre la tension  $V_s$  et  $V_e$ . Quelle est l'opération réalisée par ce montage ?

**Réponse 1.1** Comme l'AOp est idéal on a :  $V^+ = V^- = 0$  et  $i^+ = 0$  et  $i^- = 0$ . Cela implique que :  $V_s = R_c \cdot I_c = -\frac{R_c}{R_a} V_e$  Ainsi ce circuit est un circuit amplificateur inverseur.

On suppose à présent que l'amplificateur opérationnel est parfait pour toutes ses caractéristiques sauf pour son gain linéaire qui est donné par :

$$A(p) = \frac{A_0}{1 + \tau p} \quad \text{et} \quad \epsilon \neq 0 \quad (1)$$

**Question 1.2** En considérant le réseau de résistances  $R_a$ ,  $R_b$ ,  $R_c$  démontrer que  $V^-(p) = K_R \cdot (R_c \cdot V_e(p) + R_a \cdot V_s(p))$  où  $K_R = \frac{R_b}{R_a \cdot R_b + R_a \cdot R_c + R_b \cdot R_c}$

**Réponse 1.2** on a :

- $V^-(p) = R_b \cdot I_b(p)$
- $V_e(p) - V^-(p) = R_a \cdot I_a(p) \quad \Rightarrow \quad I_a(p) = \frac{V_e(p) - V^-(p)}{R_a}$

- $Vs(p) = Rc \cdot Ic(p) + Rb \cdot Ib(p) \quad \Rightarrow \quad Ic(p) = \frac{Vs(p) - Rb \cdot Ib(p)}{Rc}$
- $Ia(p) + Ic(p) = Ib(p)$

On réinjecte  $Ia$  et  $Ic$  dans la dernière équation pour obtenir :

$$Ib(p) = \frac{Rc \cdot Ve(p) + Ra \cdot Vs(p)}{Ra \cdot Rb + Ra \cdot Rc + Rb \cdot Rc} \quad (2)$$

$$V^-(p) = K_R \cdot (Rc \cdot Ve(p) + Ra \cdot Vs(p)) \quad \text{où} \quad K_R = \frac{Rb}{Ra \cdot Rb + Ra \cdot Rc + Rb \cdot Rc}$$

**Question 1.3** En considérant l'équation de l'amplificateur opérationnel  $Vs(p) = A(p) \cdot \epsilon(p)$  Déterminer la nouvelle relation entre la tension  $Vs(p)$  et  $Ve(p)$  et retrouver le résultat de la Question 1 lorsque  $A_0$  tend vers l'infini.

**Réponse 1.3** Par hypothèse on a :  $Vs(p) = A(p) \cdot \epsilon(p) = -A(p) \cdot V^-(p)$

On réinjecte cette expression de  $V^-(p)$  dans  $Vs(p) = -A(p) \cdot V^-(p)$  pour trouver :

$$Vs(p) (1 + A(p) \cdot K_R \cdot Ra) = -A(p) \cdot K_R \cdot Rc \cdot Ve(p) \quad (3)$$

Ainsi on a :

$$\frac{Vs(p)}{Ve(p)} = \frac{-A(p) \cdot K_R \cdot Rc}{1 + A(p) \cdot K_R \cdot Ra} \quad (4)$$

Notamment, si on a  $A(p) \rightarrow \infty$ , on obtient :

$$\frac{Vs(p)}{Ve(p)} = \frac{-A(p) \cdot K_R \cdot Rc}{1 + A(p) \cdot K_R \cdot Ra} \xrightarrow{A(p) \rightarrow \infty} -\frac{Rc}{Ra} \quad (5)$$

ce qui est le résultat de la question 1.

**Question 1.4** Donner la pulsation de coupure  $\omega_0$  du système.

**Réponse 1.4**  $\omega_0 = \frac{1 + A_0 \cdot K_R \cdot Ra}{\tau}$

## Exercice 2 - Capacités commutées

Les montages a,b et c présentés Figure 2 supposent les capacités et les commutateurs parfaits. La fréquence d'échantillonnage  $f_e$  est égale à 1 MHz.  $C_2 = C_3 = 10$  pF.

**Question 2.1** Calculer les fonctions de transfert des circuits A et B,  $H_A(z)$  et  $H_C(z)$  respectivement. En déduire la fonction de transfert  $H_C(z)$  du circuit C ?

**Réponse 2.1**  $H_A(z) = \frac{1}{1 + \frac{C_2}{C_1}(1-z^{-1})}$ ,  $H_B(z) = \frac{\frac{C_3}{C_4}(1-z^{-1})}{1 + \frac{C_3}{C_4}(1-z^{-1})}$ ,  $H_C(z) = H_A(z)H_B(z)$

**Question 2.2** En utilisant l'approximation  $e^{-j\omega T_e} \underset{\omega \ll \frac{1}{T_e}}{\approx} 1 - j\omega T_e$ , démontrer que la réponse fréquentielle du circuit C peut se mettre sous forme

$$H_T(\omega) = \frac{j\omega k_2 T_e}{(1 + j\omega k_1 T_e)(1 + j\omega k_2 T_e)}, \quad \text{avec} \quad k_1 = \frac{C_2}{C_1} \quad k_2 = \frac{C_3}{C_4}$$

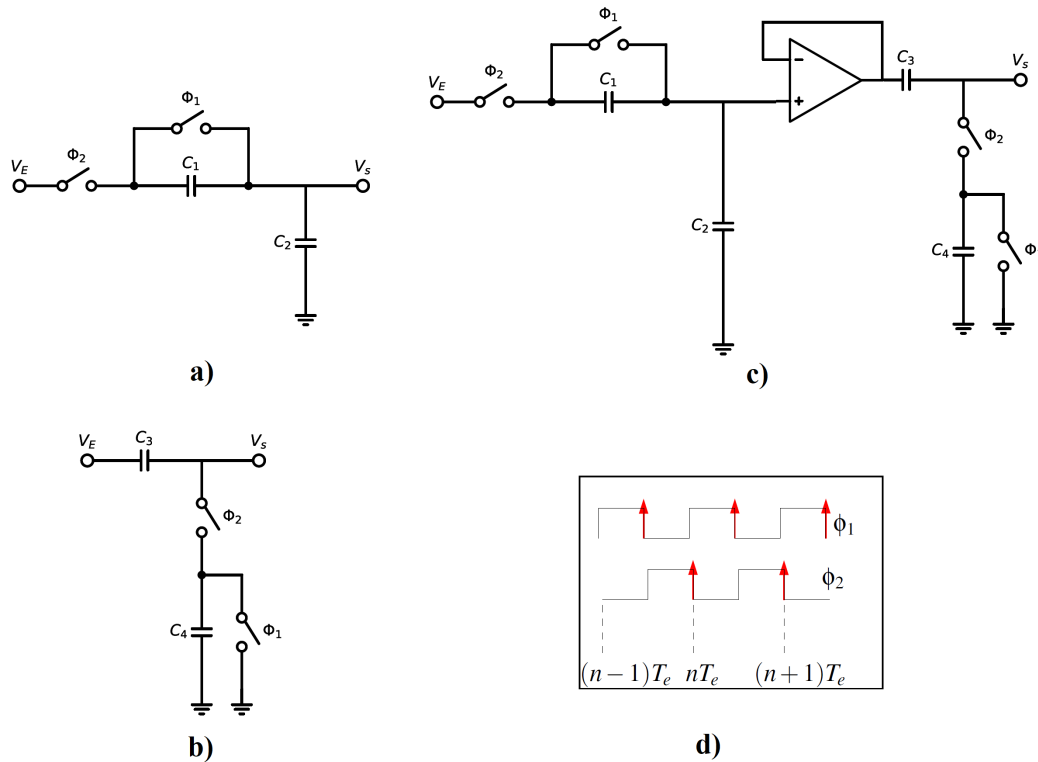


FIGURE 2 – a) Circuit A. b) Circuit B. C) Circuit C. d) Diagramme de commutation des interrupteurs

**Réponse 2.2** Il suffit de remplacer  $z^{-1} = e^{-j\omega T_e}$  par  $1 - j\omega T_e$  dans l'expression de  $H_C(z)$ .

**Question 2.3** Quelle est la fonction réalisée par ce circuit ? (Considérez que  $k_2 < k_1$ )

**Réponse 2.3** La fonction de transfert a un zéro à la fréquence 0 et deux poles. La fonction réalisée est donc un filtre passe bande.

**Question 2.4** Calculer  $C_1$  et  $C_4$  pour que la bande passante du filtre soit de  $f_1 = 1$  kHz à  $f_2 = 10$  kHz ?

**Réponse 2.4**  $C_4 = 628.3$  fF et  $C_1 = 62.83$  fF

### Exercice 3 - Filtrage

Serge est amateur de Lama et musicien, il souhaite enregistrer une chanson. Cependant, sa voisine Lara perturbe ses enregistrements avec ses capteurs ultra-sons. Serge décide donc de filtrer ces fréquences ultra-sons avant de faire l'acquisition en numérique. Il détermine qu'il faut atténuer toutes les fréquences supérieures à 50 kHz d'au moins 40 dB et que l'atténuation doit être inférieure à 0.5 dB dans la bande utile [0-20 kHz].

**Question 3.1** Déterminer le gabarit du filtre passe-bas requis pour l'application.

**Réponse 3.1**  $A_{min}=40$  dB,  $A_{max}=0.5$  dB,  $f_1=20$  kHz,  $f_2=50$  kHz

**Question 3.2** Déterminer le paramètre de sélectivité  $\Omega_s$  et le gabarit du filtre prototype passe-bas (normalisé).

**Réponse 3.2**  $\Omega_s = 2.5$

Serge décide d'utiliser une approximation de Tchebycheff pour ce filtre. Les polynômes de Tchebycheff s'expriment par :

$\forall x \geq 1, T_n(x) = \text{ch}(n \text{ arch}(x))$ , où ch représente le cosinus hyperbolique et arch l'argument du cosinus hyperbolique<sup>1</sup>, réciproque de la fonction ch.

**Question 3.3** En déduire l'ordre du filtre requis.

**Réponse 3.3**  $D = 286.26, n > \text{acosh}(286.26) / \text{acosh}(2.5) = 4.0529$  donc  $n=5$

## Exercice 4 - Conversion

On considère un système de réception pour un signal 5G utilisant une architecture homodyne. Après le mixage, le spectre du signal est comme présenté en Fig.3 :

- le signal utile de 0 à 10 MHz
- interférence 1 de 10 à 30 MHz
- interférence 2 de 30 à 50 MHz

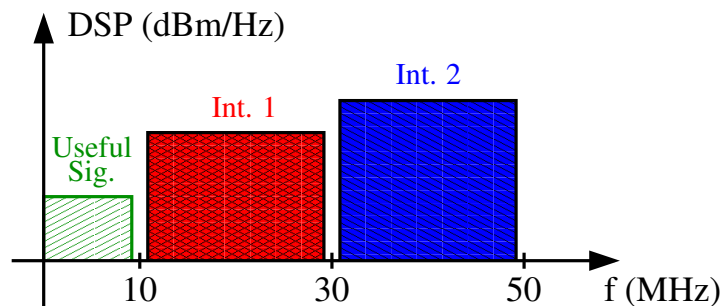


FIGURE 3 – Spectre du signal à l'entrée du CAN

On souhaite faire l'acquisition de ce signal avec un convertisseur analogique numérique. Le rapport signal sur bruit (SNR) doit être supérieur à 72 dB afin d'assurer une bonne qualité de signal pour la démodulation.

**Question 4.1** Quelle est la fréquence d'échantillonnage minimale  $F_{smin}$  que l'on peut utiliser pour acquérir ce signal? Que faudra-t-il ajouter dans la chaîne de réception pour garantir l'intégrité du signal (pour que le signal utile ne soit pas déformé après échantillonnage)?

**Réponse 4.1** Le signal a une bande de 10 MHz, il faut donc l'échantillonner à 20 MHz. Il faudra ajouter un filtre anti-repliement car les interférences seront repliées sur le signal utile

1.  $\text{arch}(x) = \ln(x + \sqrt{x^2 - 1})$  pour  $x \geq 1$

**Question 4.2** En supposant que le signal occupe la pleine échelle du convertisseur, calculer le nombre de bits  $n$  nécessaire pour satisfaire les contraintes.

**Réponse 4.2** On sait que s'il y a pas de suréchantillonnage et si le signal utile occupe la pleine échelle :  $SNR = 6.02n + 1.76$ . On en déduit qu'il nous faut  $n = 11.67$  donc on prendra 12 bits

Afin de réduire la complexité du convertisseur, on souhaite réduire le nombre de bit du convertisseur à 9. Pour cela on met en place du sur-échantillonnage afin d'échantillonner le signal à la fréquence  $F_s = F_{Smin} * OSR$ .

**Question 4.3** Calculer le taux de sur-échantillonnage (OSR) nécessaire pour réduire le nombre de bits à 9. En déduire la nouvelle fréquence d'échantillonnage.

**Réponse 4.3**  $SNR = 6.02n + 1.76 + 10 \log_{10}(OSR)$  on trouve  $OSR = 40.3$  et donc  $F_s = 803$  MHz

**Question 4.4** Quel sera l'autre avantage de sur-échantillonner sur la chaîne de réception ?

**Réponse 4.4** Plus besoin du filtre anti-repliement en analogique vu qu'on fait l'acquisition du signal et des interférences. Le filtrage pourra se faire dans le domaine numérique.

**Question 4.5** Expliquez en quoi le sur-échantillonnage permet de réduire le nombre de bits. Pour cela on représentera l'allure de la densité spectrale de puissance du bruit de quantification avec et sans sur-échantillonnage et on explicitera le lien entre les deux.

**Réponse 4.5** Le bruit de quantification total est identique donc si on sur-échantillonne on étale le bruit sur plus large donc on baisse la DSP.

On souhaite réaliser le convertisseur en utilisant une architecture sigma-delta présentée en Figure 4. Une telle architecture s'appuie sur le sur-échantillonnage et la mise en forme du bruit.

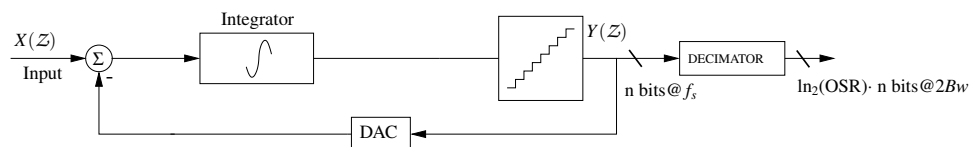


FIGURE 4 – Architecture du convertisseur sigma-delta

Cette mise en, forme du bruit se traduit par une fonction de transfert du convertisseur sur le bruit donnée par  $H(z) = 1 - z^{-1}$ . Ainsi le bruit de quantification est filtré par le convertisseur avec une fonction de transfert donnée par  $H(z)$ .

**Question 4.6** Tracer l'allure de la réponse en fréquence  $|H(e^{j\omega T_s})|$  entre les fréquences 0 et  $F_s/2$ . En déduire l'effet du convertisseur sur le bruit ainsi que la conséquence sur le SNR.

**Réponse 4.6** La réponse tend vers 0 pour les fréquences nulles et tend vers 2 pour  $F_s/2$ . Le bruit est repoussé dans les hautes fréquences. Sur la plage de fréquence d'intérêt le bruit est réduit.